

[Figures 4]

Objektyp: **Appendix**

Zeitschrift: **Bericht der Eidgenössischen Kommission zur Überwachung der Radioaktivität**

Band (Jahr): **30 (1987-1988)**

Heft 2: **Figures & tableaux**

PDF erstellt am: **25.06.2024**

Nutzungsbedingungen

Die ETH-Bibliothek ist Anbieterin der digitalisierten Zeitschriften. Sie besitzt keine Urheberrechte an den Inhalten der Zeitschriften. Die Rechte liegen in der Regel bei den Herausgebern. Die auf der Plattform e-periodica veröffentlichten Dokumente stehen für nicht-kommerzielle Zwecke in Lehre und Forschung sowie für die private Nutzung frei zur Verfügung. Einzelne Dateien oder Ausdrucke aus diesem Angebot können zusammen mit diesen Nutzungsbedingungen und den korrekten Herkunftsbezeichnungen weitergegeben werden. Das Veröffentlichen von Bildern in Print- und Online-Publikationen ist nur mit vorheriger Genehmigung der Rechteinhaber erlaubt. Die systematische Speicherung von Teilen des elektronischen Angebots auf anderen Servern bedarf ebenfalls des schriftlichen Einverständnisses der Rechteinhaber.

Haftungsausschluss

Alle Angaben erfolgen ohne Gewähr für Vollständigkeit oder Richtigkeit. Es wird keine Haftung übernommen für Schäden durch die Verwendung von Informationen aus diesem Online-Angebot oder durch das Fehlen von Informationen. Dies gilt auch für Inhalte Dritter, die über dieses Angebot zugänglich sind.

Fig.4.1: Rejets liquides des centrales nucléaires: eaux résiduaires (sans le tritium) en Bq/an

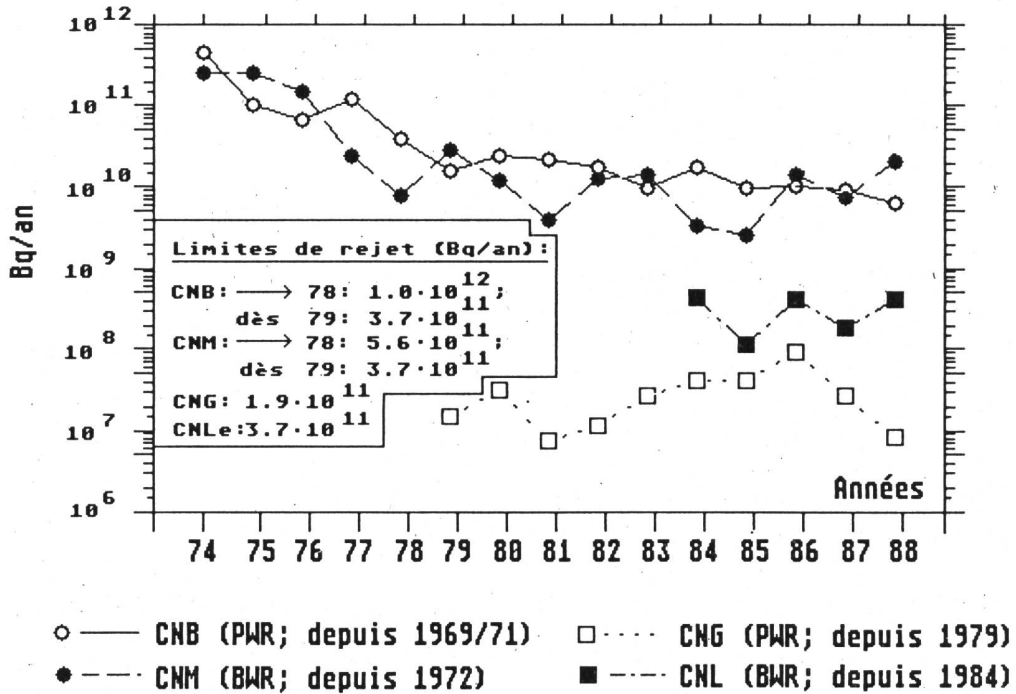


Fig.4.2: Rejets liquides des centrales nucléaires: eaux résiduaires : Tritium en Bq/l

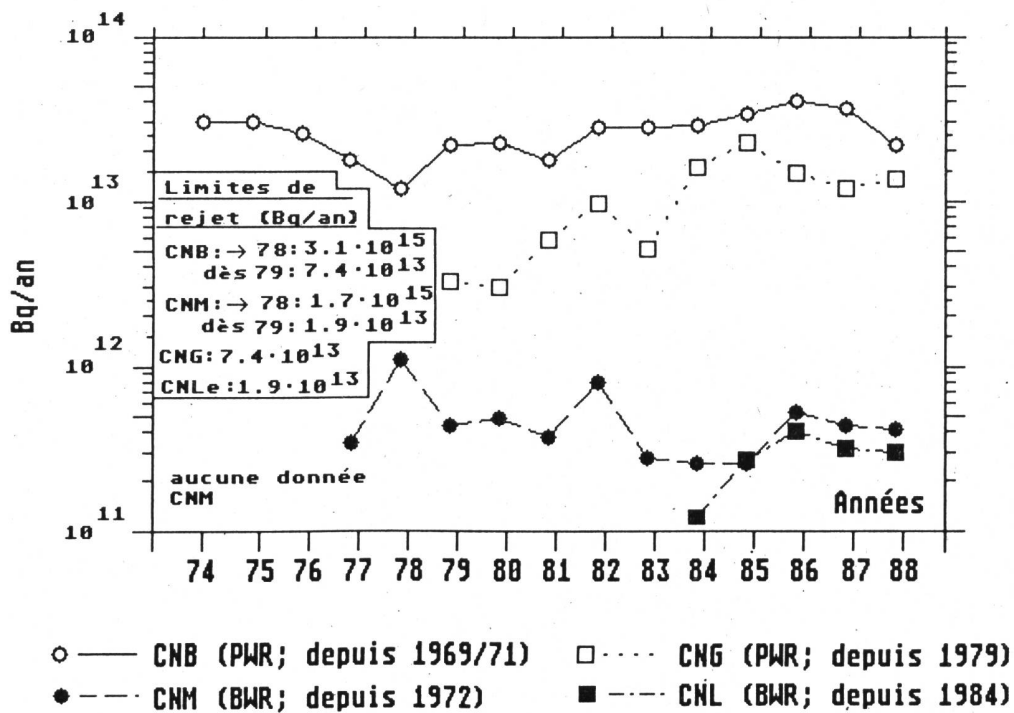


Fig.4.3 : Rejets gazeux des centrales nucléaires: Gaz d'échappement: Gaz rares en Bq/an (équivalent Xe-133)

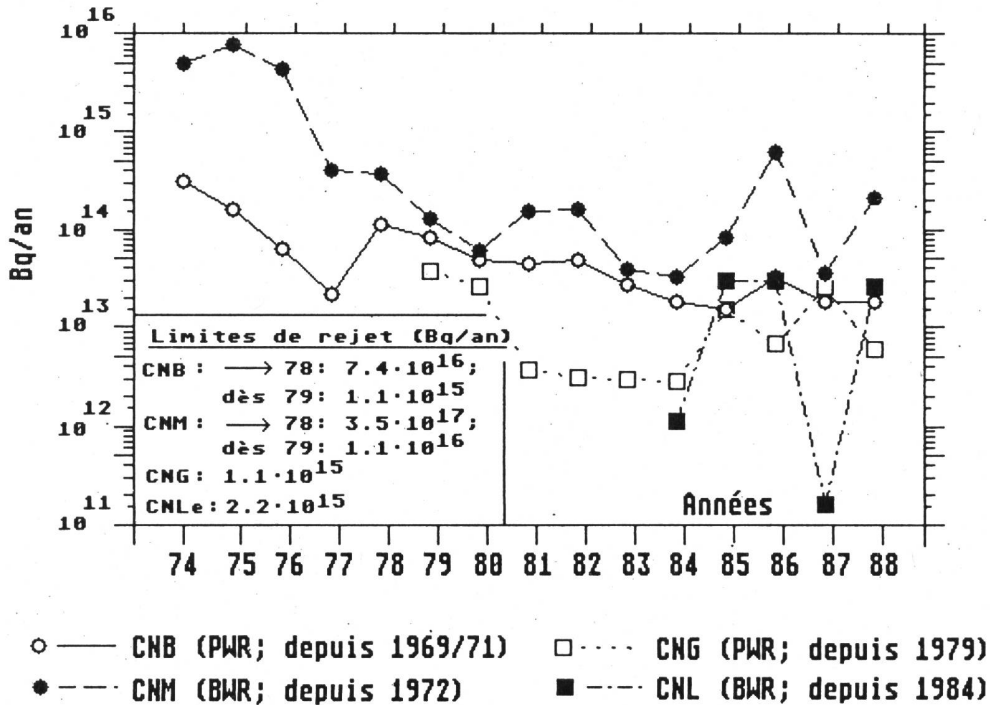
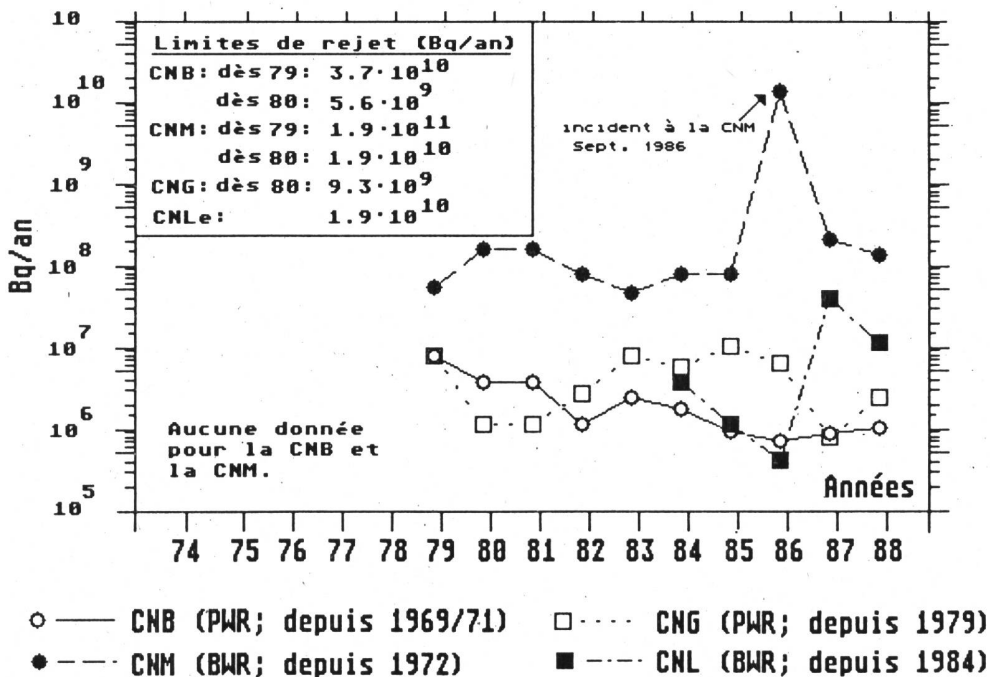
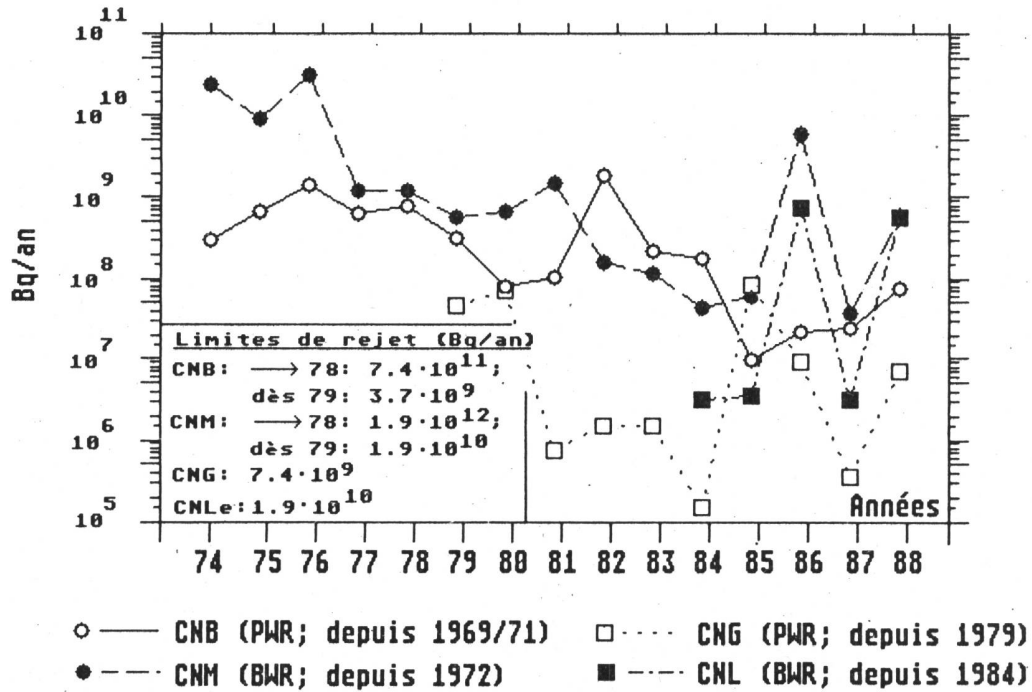


Fig.4.4 : Rejets gazeux des centrales nucléaires aérosols ($T_{1/2} > 8j$; sans iode gazeux) en Bq/an



**Fig.4.5 : Rejets gazeux des centrales nucléaires:
iode élémentaire en Bq/an**



**Fig.4.6 :
Doses maximales aux personnes en $\mu\text{Sv}/\text{an}$ dans le voisinage des CN**

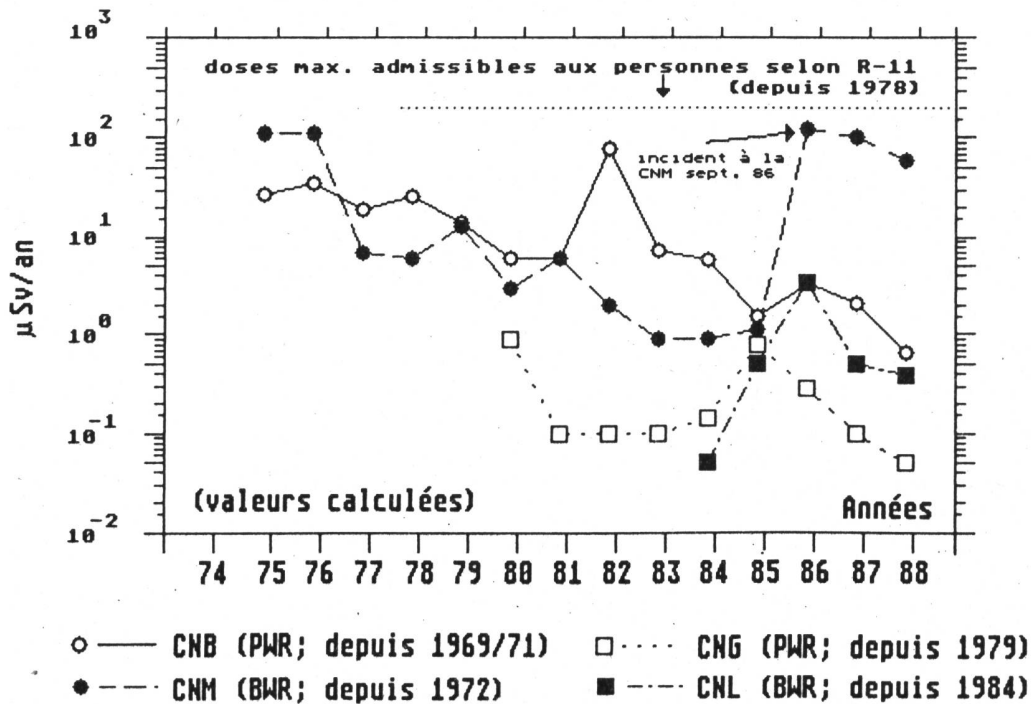


Fig. 4.7: Débit d'exposition externe mesuré à l'aide d'une chambre à ionisation UFEM HORN (VOISINAGE CNM)

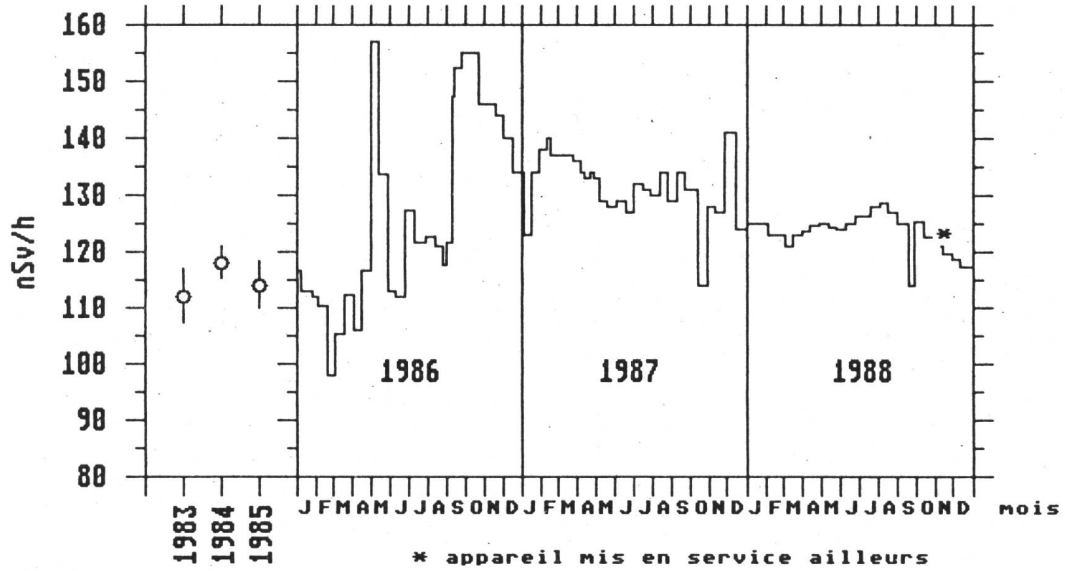


Fig. 4.8: Débit d'exposition externe mesuré à l'aide d'une chambre à ionisation NIEDERRUNTIGEN CNM-SCHALTZENTRALE (VOISINAGE CNM)

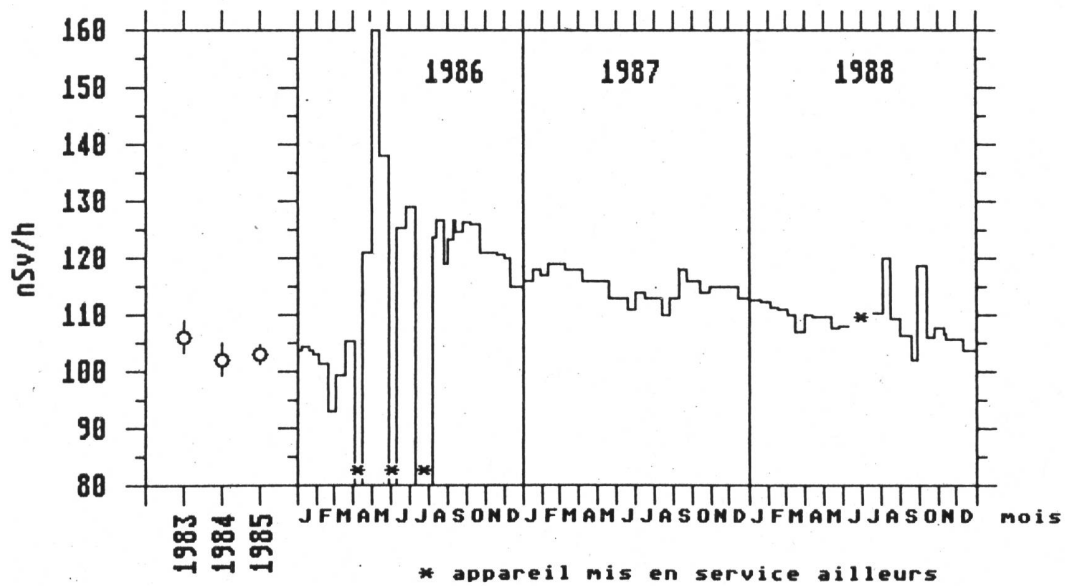


Fig.4.9: Débit d'exposition externe mesuré à l'aide d'une chambre à ionisation NIEDERGÖSGEN (VOISINAGE CNG)

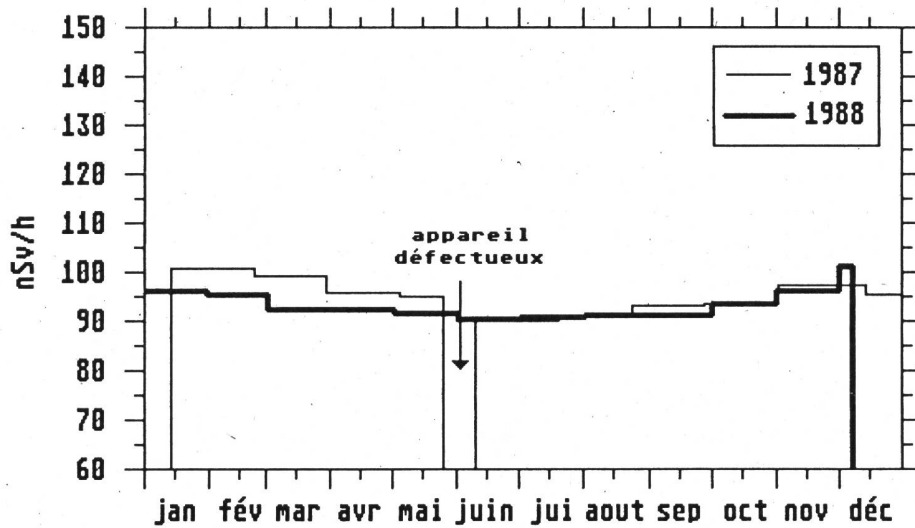
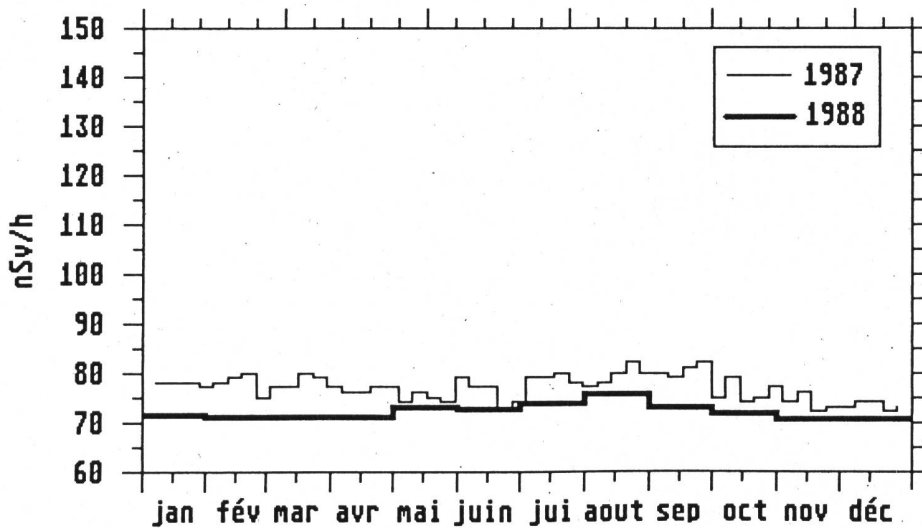


Fig.4.10: Débit d'exposition externe mesuré à l'aide d'un détecteur à scintillation à la centrale hydraulique de BEZNAU (Vois. CMB)



L'appareil indique une valeur trop basse de 30 nSv/h (offset) qui est déjà corrigée dans ce graphique.

Fig.4.11: Débit d'exposition externe mesuré à l'aide d'une chambre à ionisation à FULL PUMPERK (Voisinage CNL)

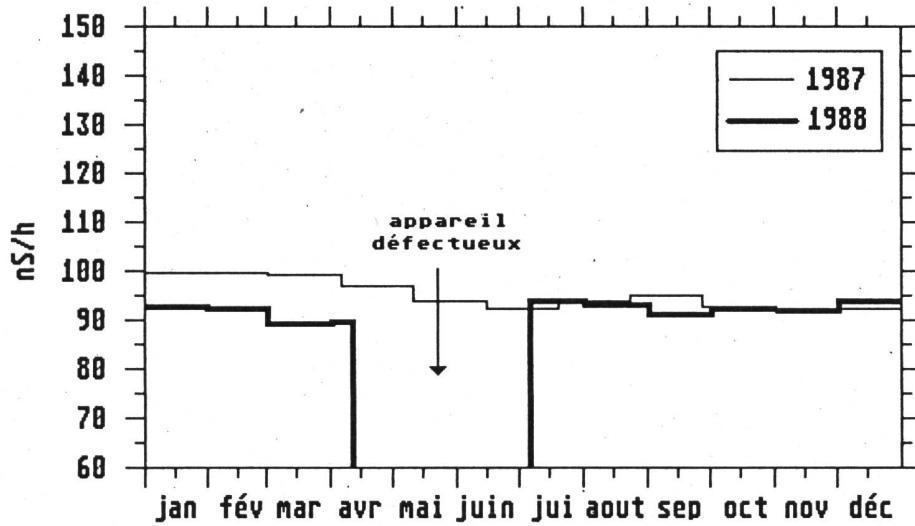


Fig.4.12: Débit d'exposition externe mesuré à l'aide d'une chambre à ionisation à LEIBSTADT CHLEMMI (Voisinage CNL)

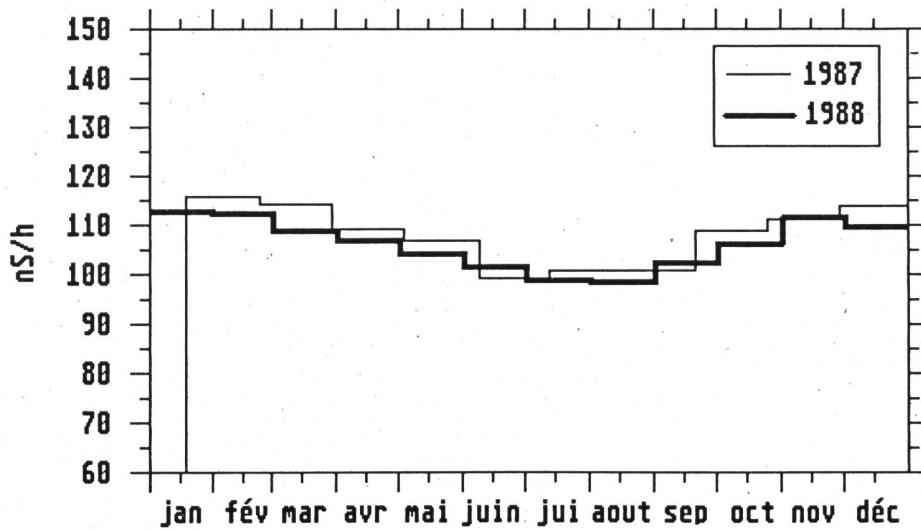


Fig.4.13: Débit de dose mesuré près de CNM le 18.05.88
(BKW-Schaltzentrale 800 m ENE de CNM)

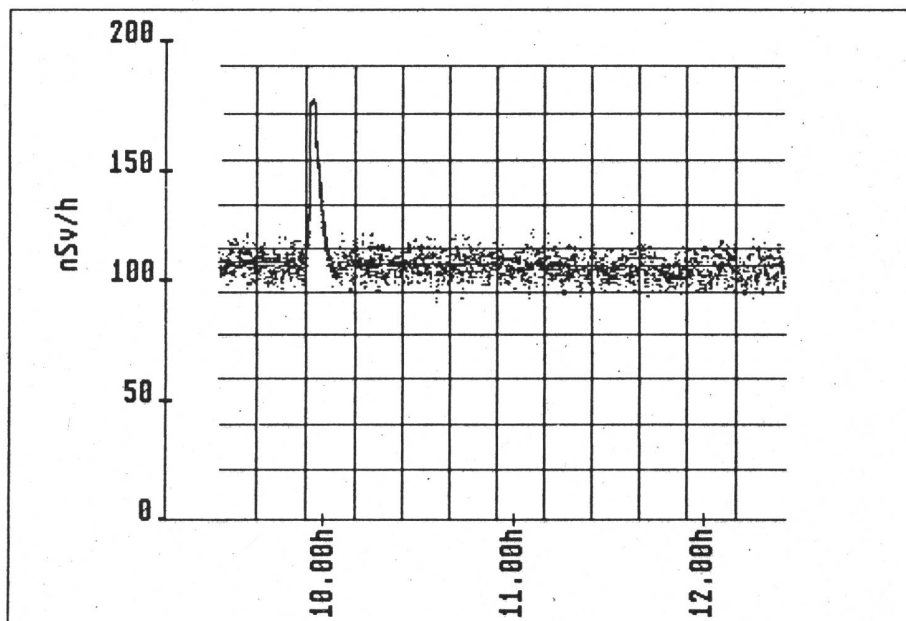


Fig.4.14: Mesures in situ près de la CN de Mühleberg ("Ufem Horn")
Contributions des différentes contaminations à l'activité
spécifique en surface et au débit d'exposition externe
(mesuré le 07.06.1988)

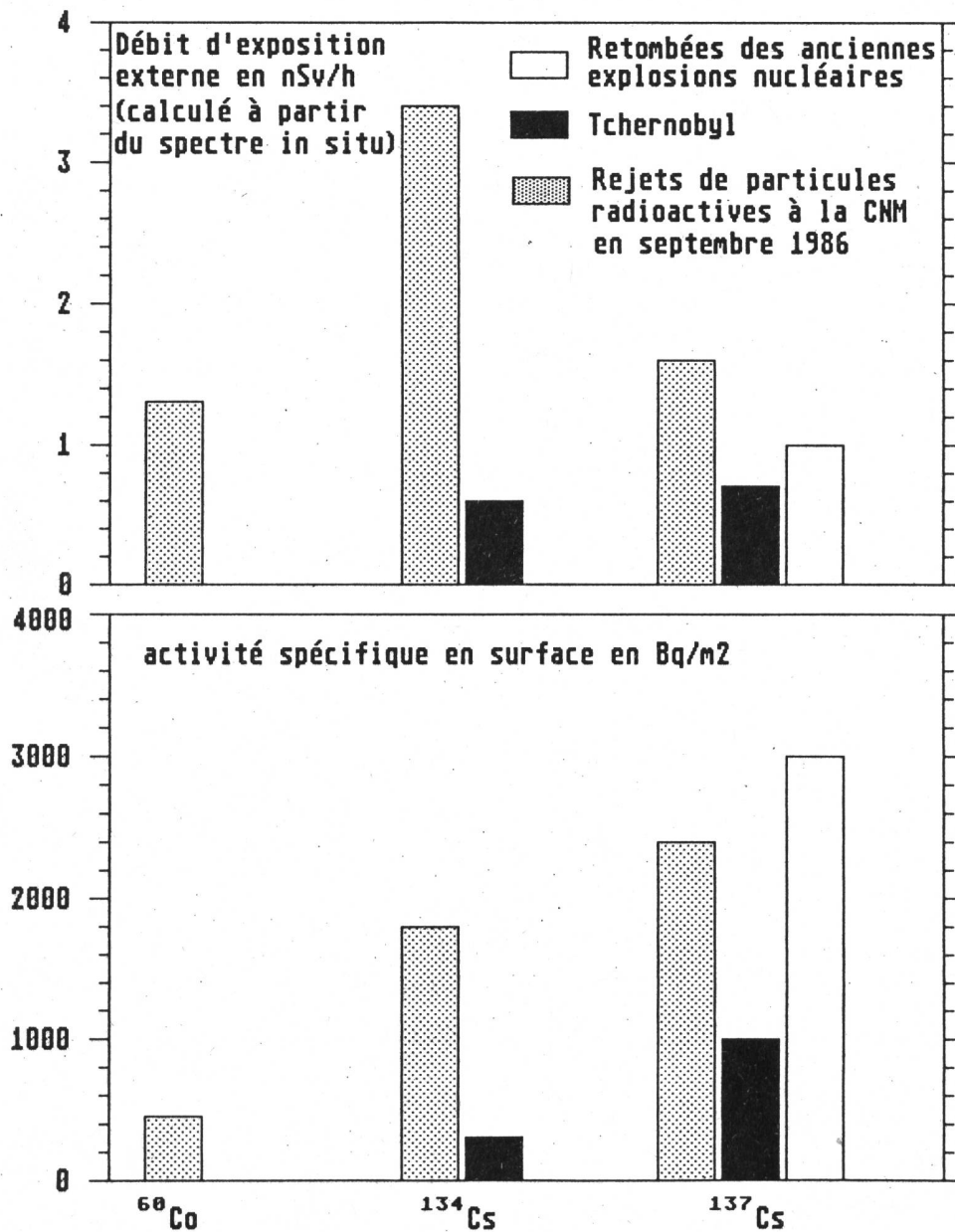


Fig.4.15: Activité bêta totale déposée sur les plaques de vaseline

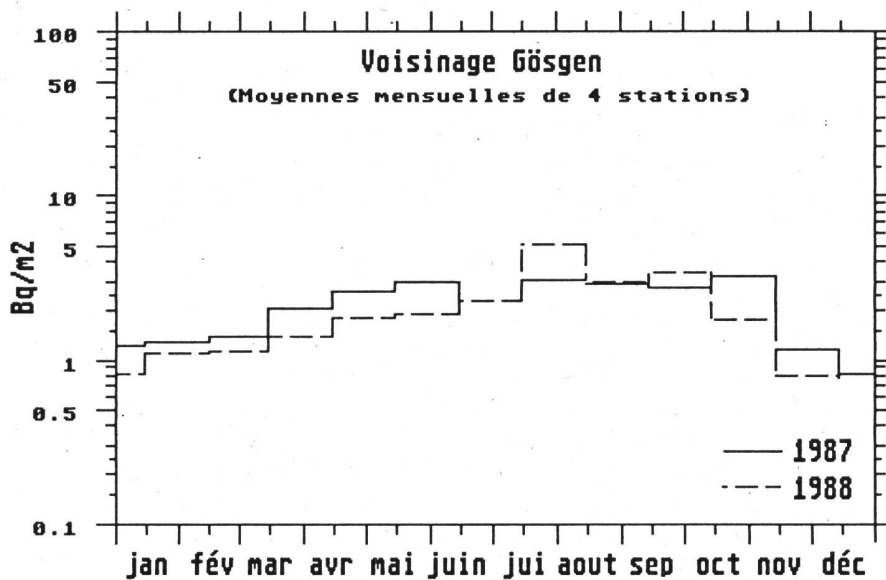


Fig.4.16: Activité bêta totale déposée sur les plaques de vaseline

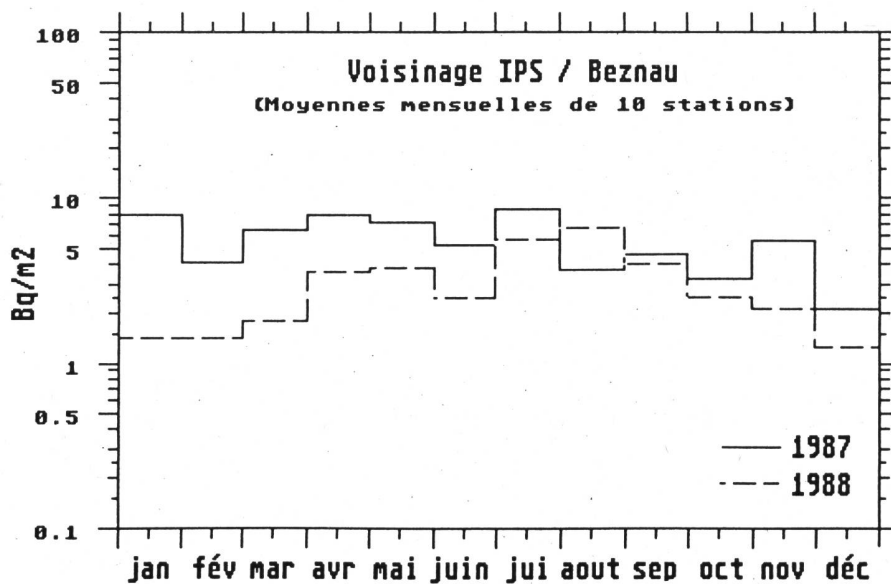


Fig.4.17: Activité bêta totale déposée sur les plaques de vaseline

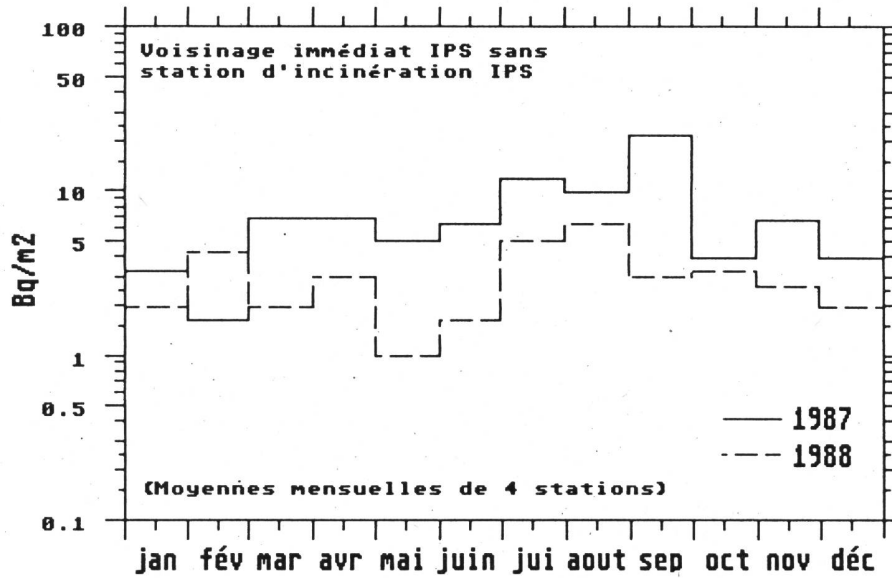


Fig.4.18: Activité bêta totale déposée sur les plaques de vaseline

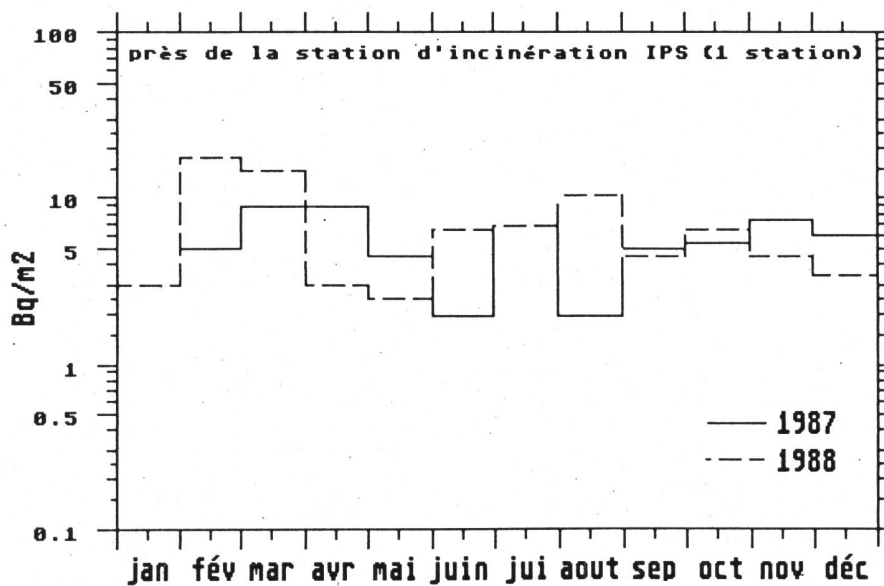


Fig.4.19: Activité bêta totale déposée sur les plaques de vaseline

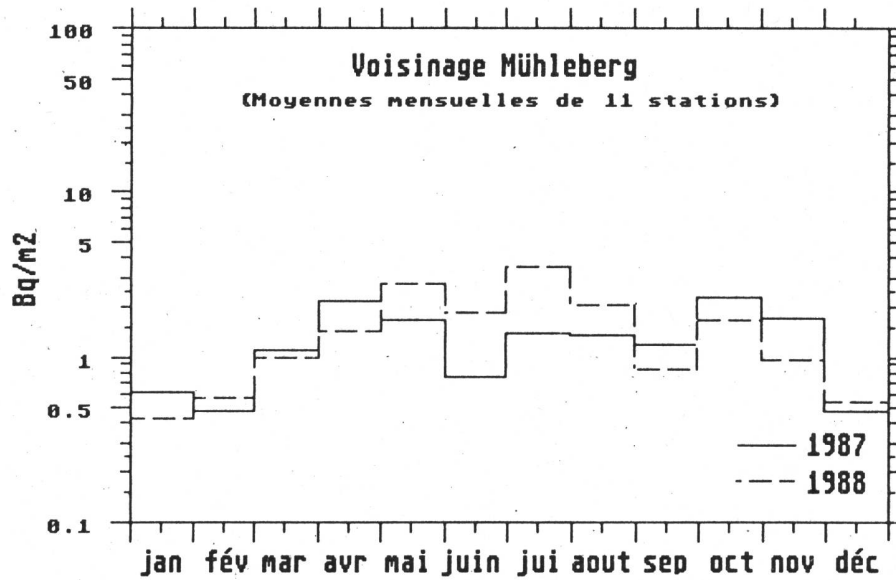


Fig.4.20: Activité bêta totale déposée sur les plaques de vaseline

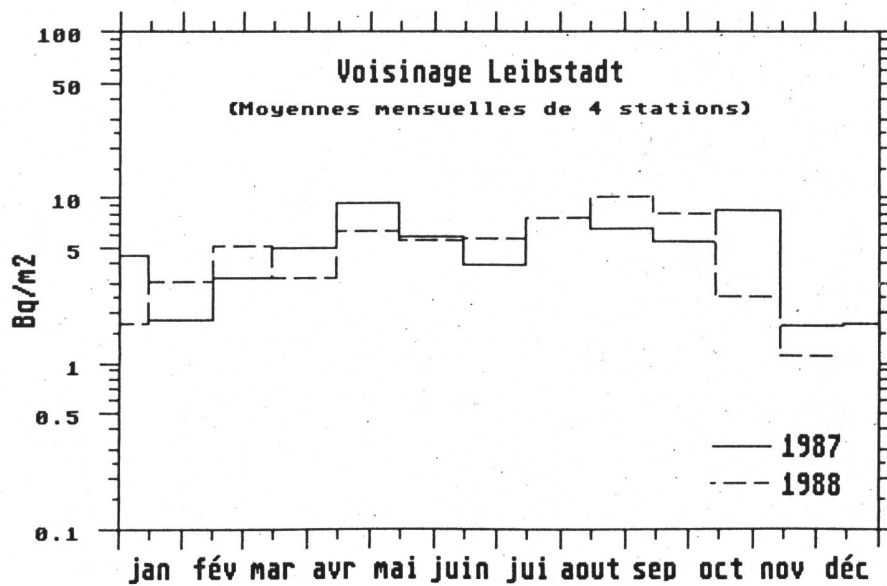


Fig.4.21: Activité bêta totale dans les nappes phréatiques au voisinage des centrales nucléaires

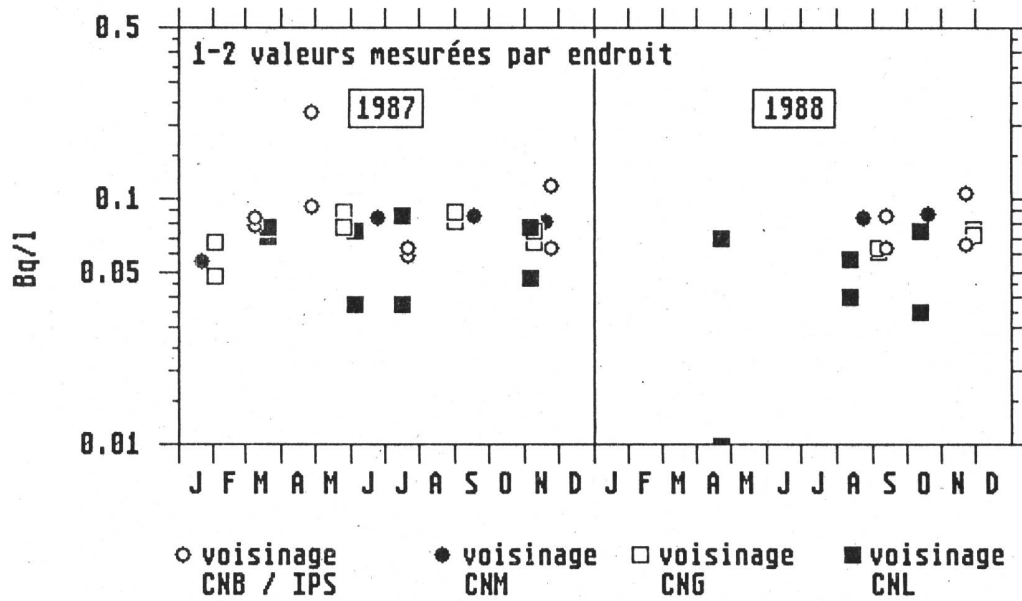


Fig.4.22: Tritium dans les nappes phréatiques au voisinage des centrales nucléaires

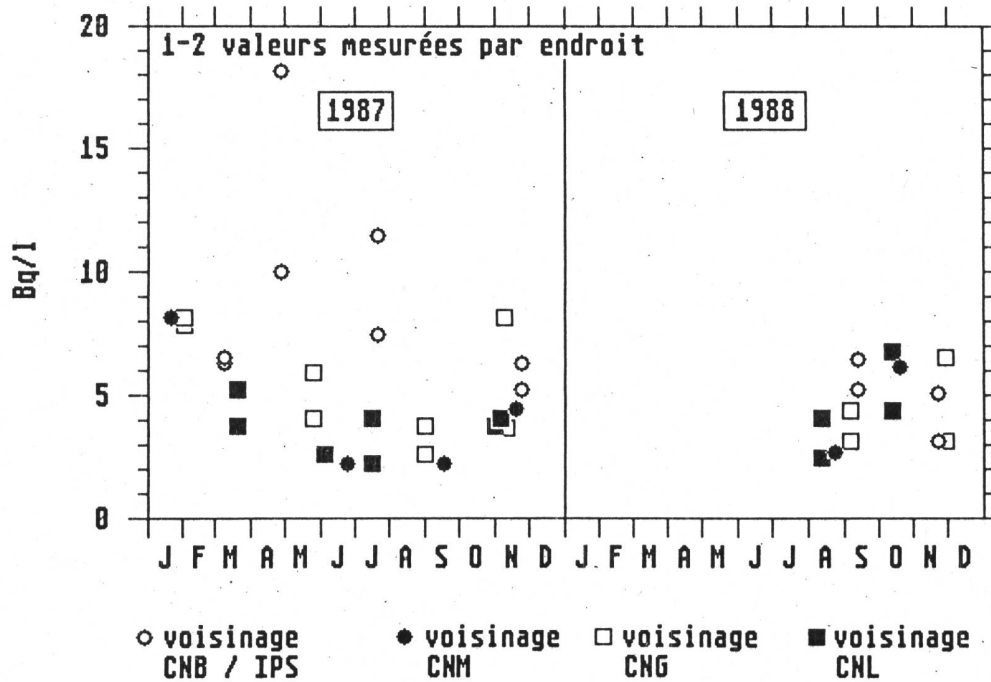


Fig.4.23: Bêta totale dans les matières en suspension au voisinage des centrales nucléaires

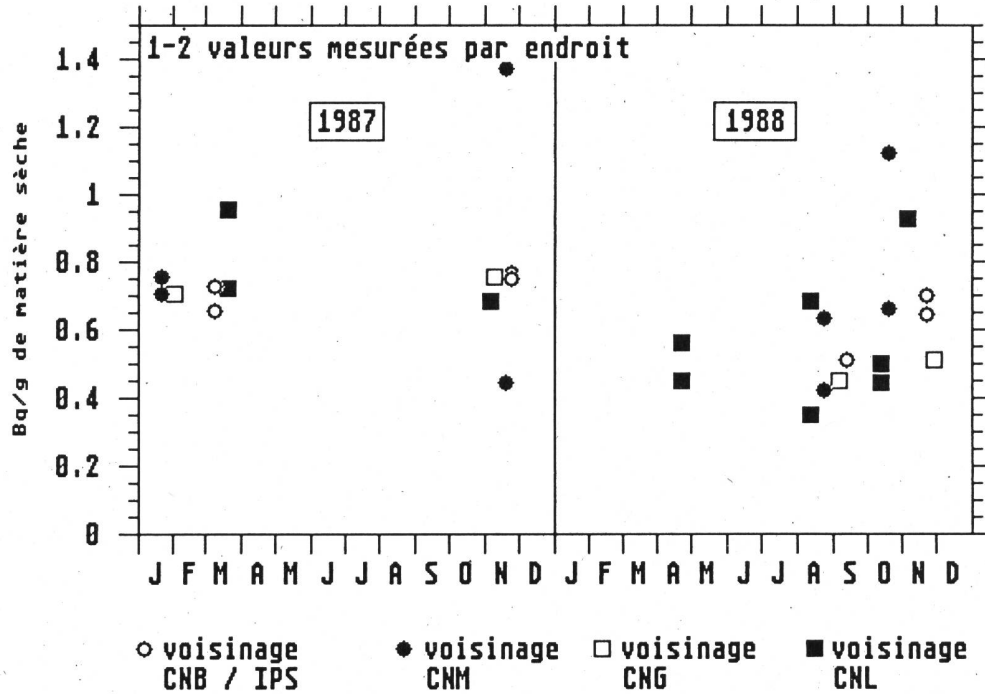


Fig.4.24: Bêta totale dans les eaux de rivières au voisinage des centrales nucléaires

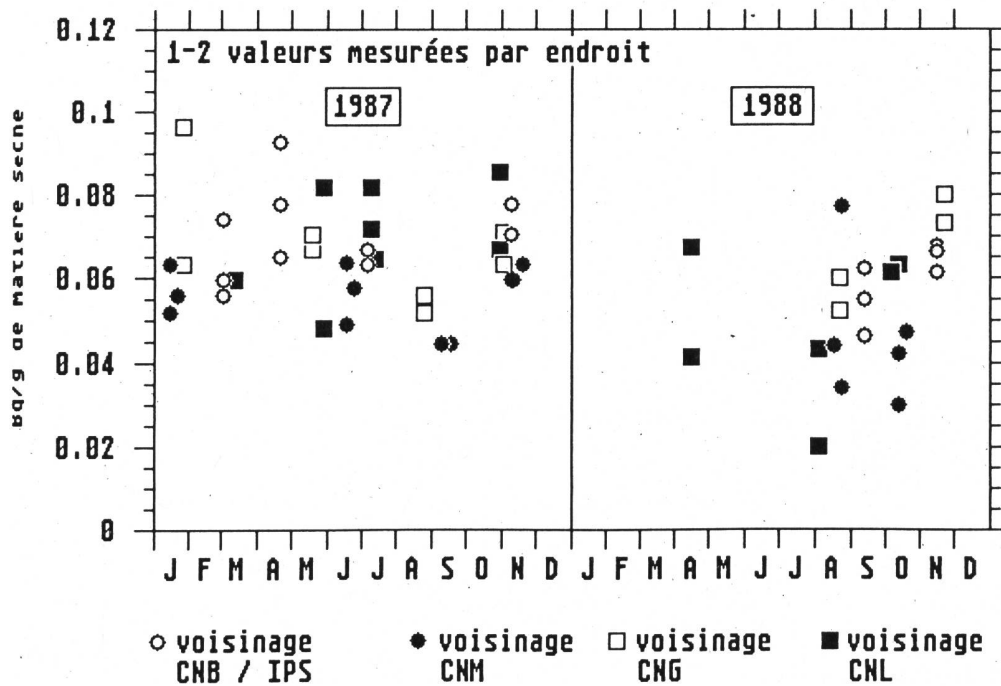


Fig.4.25: Sédiments au voisinage des centrales nucléaires

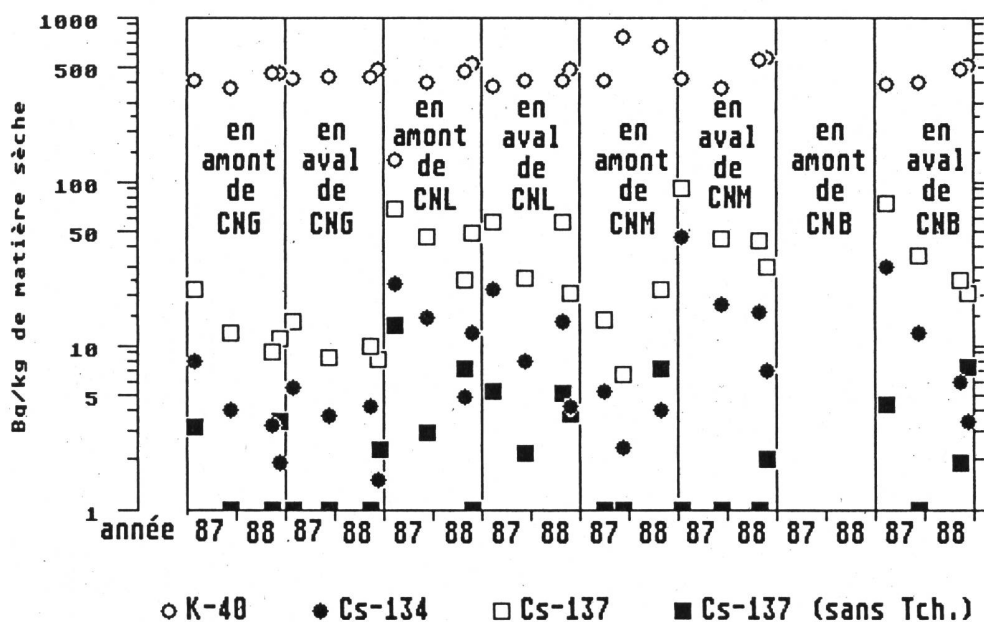


Fig.4.26.a: Concentration en C-14 dans le feuillage (stations de référence)

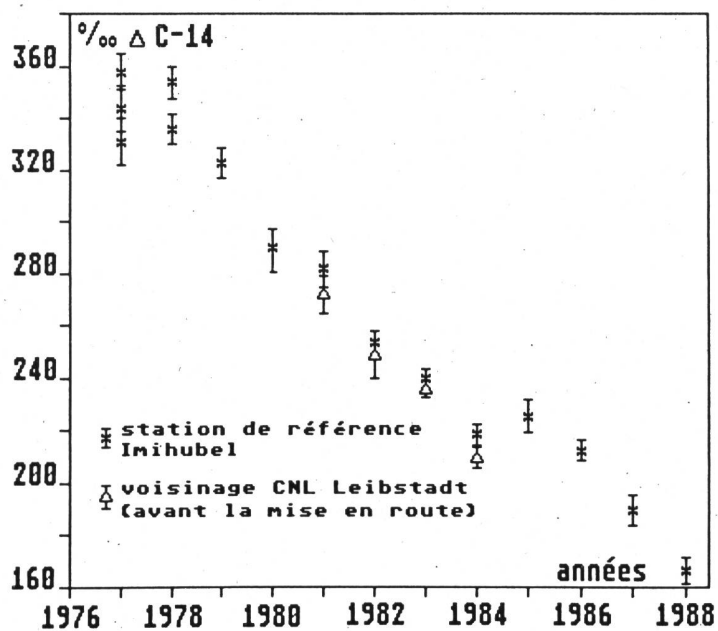


Fig.4.26.b: C-14 dans le feuillage au voisinage de CNL (net; relatif à la station de référence)

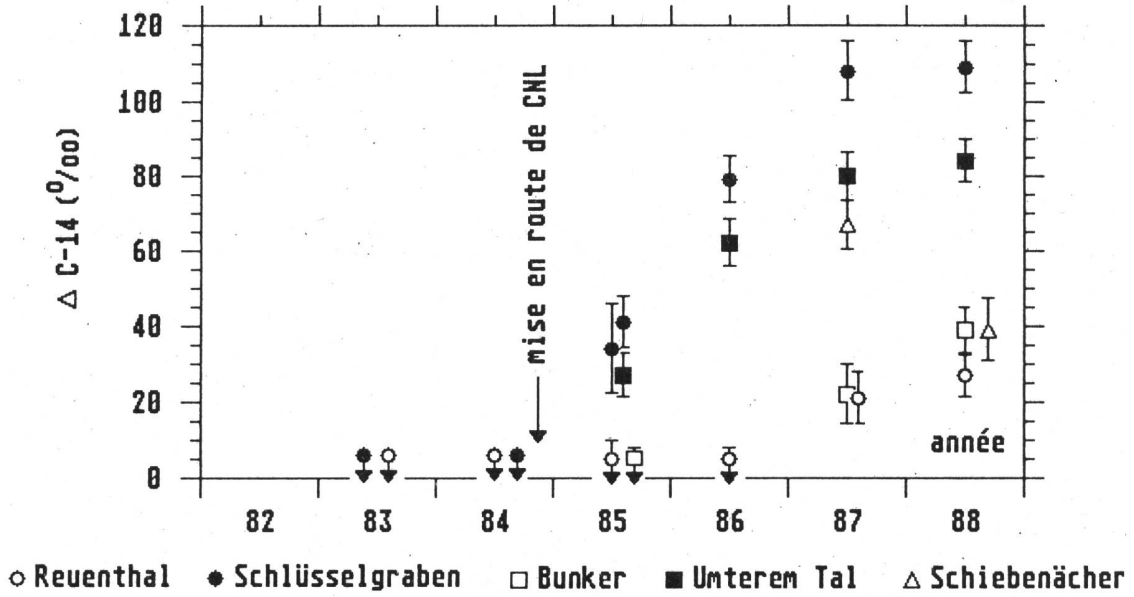


Fig. 4.26.c: Emplacement pour les mesures de C-14 dans le voisinage de CNL

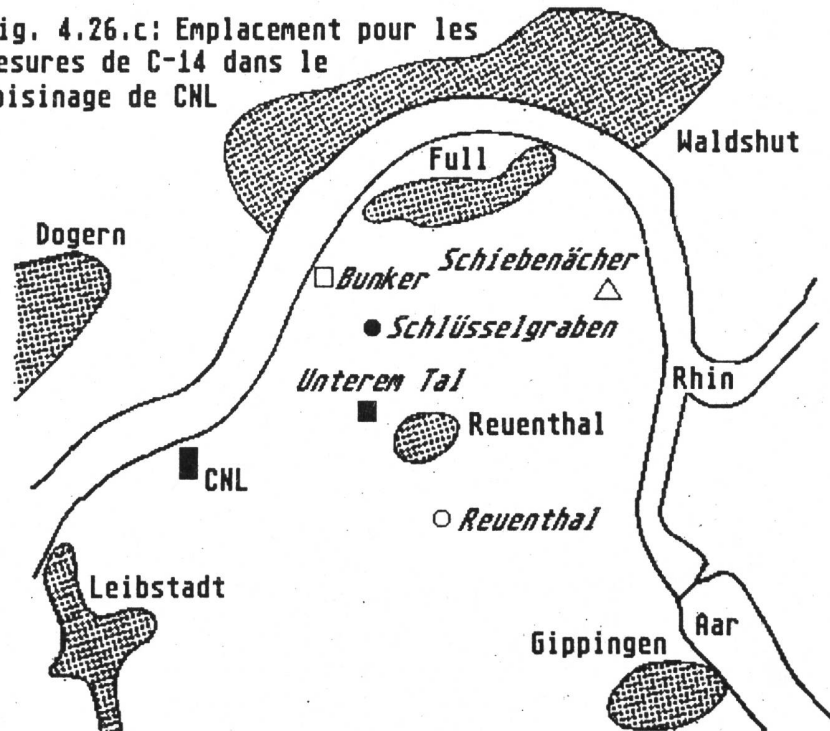


Fig.4.26.d: C-14 dans le feuillage au voisinage de Saphir (IPS)
(net; relatif à la station de référence)

